



HAL
open science

Modèle d'endommagement appliqué à la fatigue des enrobés bitumineux

Didier Bodin, Gilles Pijaudier-Cabot, Chantal de La Roche, Armelle Chabot, Jean Michel Piau

► **To cite this version:**

Didier Bodin, Gilles Pijaudier-Cabot, Chantal de La Roche, Armelle Chabot, Jean Michel Piau. Modèle d'endommagement appliqué à la fatigue des enrobés bitumineux. 1ère Conférence Internationale Albert Caquot, Oct 2001, Paris, France. <hal-01689133>

HAL Id: hal-01689133

<https://hal.science/hal-01689133v1>

Submitted on 27 Jan 2023

HAL is a multi-disciplinary open access archive for the deposit and dissemination of scientific research documents, whether they are published or not. The documents may come from teaching and research institutions in France or abroad, or from public or private research centers.

L'archive ouverte pluridisciplinaire **HAL**, est destinée au dépôt et à la diffusion de documents scientifiques de niveau recherche, publiés ou non, émanant des établissements d'enseignement et de recherche français ou étrangers, des laboratoires publics ou privés.



HAL Authorization

CONTEXTE

Passage répété des charges roulantes

Fissuration des chaussées

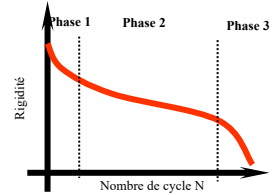


- Programme de recherche de LCPC (thème CH17 : fatigue des enrobés bitumineux)
- Travail de thèse (Bodin, 2002)
- Utilisation d'une base de donnée d'essai (programme interlaboratoire RILEM -TC182PEB)
- Collaboration avec le Laboratoire de Génie Civil de Nantes Saint-Nazaire

ESSAIS de LABORATOIRE

Essai	Appareil	Matériau	Présentation	Dimension de l'éprouvette	Matériau	Présentation	Dimension de l'éprouvette
2 points	(Mazars, 1991)	Asphalte	Essai de traction	80 mm	Asphalte	Essai de traction	80 mm
3 points	(Mazars, 1992)	Asphalte	Essai de flexion	80 mm	Asphalte	Essai de flexion	80 mm
4 points	(Pouk, 1996)	Asphalte	Essai de flexion	80 mm	Asphalte	Essai de flexion	80 mm

(De La Roche, 1996)



Phénoménologie (Lefevre, 2001)

- Phase 1 :** Echauffement, début de la microfissuration
- Phase 2 :** Stabilisation du régime thermique, croissance des zones endommagées
- Phase 3 :** Macrofissuration → rupture

OBJECTIF et DEMARCHE

BUT : Simulation prédiction des essais de fatigue sur enrobés bitumineux
DEMARCHE :

Elaboration d'un **modèle d'endommagement**

- comportement homogène élastique isotrope endommageable
- choix d'une loi d'évolution pour la fatigue

Implantation dans un code de calcul **élément finis**

- méthode approchée d'intégration temporelle pour la fatigue
- validation du programme sur une configuration 1D

Identification des paramètres sur des essais de fatigue 1D

Validation de la performance du modèle sur des structures plus complexes

- cas de la flexion sur éprouvette trapézoïdale

MODELE d'ENDOMMAGEMENT

- Endommagement scalaire isotrope (Lemaitre, 1996) $\sigma_{ij} = (1 - D)C_{ijkl}\epsilon_{kl}$
- Loi d'évolution de l'endommagement

$$D = \begin{cases} g(D, \bar{\epsilon}) < \bar{\epsilon} > & \text{si } D < 1 \\ 0 & \text{autrement} \end{cases}$$

→ Déformation équivalente

$$\bar{\epsilon} = \sqrt{\sum_{i=1,2,3} \frac{\langle \sigma_i \rangle^2}{E(1-D)}}$$

→ Fonction d'évolution

$$g(\bar{\epsilon}, D) = C D^\alpha \bar{\epsilon}^\beta$$

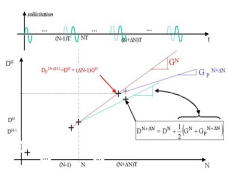
- Approche locale, non-locale (Pijaudier-Cabot et Bazant, 1989)

IMPLANTATION ELEMENTS FINIS

Utilisation du code de calcul **Castem2000**

- modification d'un module d'endommagement scalaire existant (modèle de Mazars)
- programmation d'une technique de projection (Peerlings, 1999)

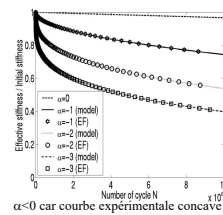
Schématisation de la projection (1D)



Validation

comparaison /solution analytique (1D) :

$$D = \left[\frac{C(1-\alpha)\epsilon_0^{\beta+1}N}{1+\beta} \right]^{\frac{1}{1-\alpha}}$$



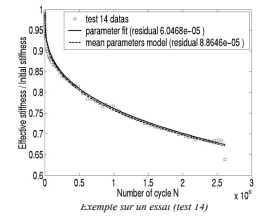
IDENTIFICATION SUR ESSAIS 1D

Ajustement du modèle sur des résultats expérimentaux de traction compression

- calcul des paramètres sur chacun des essais
- évaluation des paramètres moyens
- contrôle a posteriori sur les données expérimentales



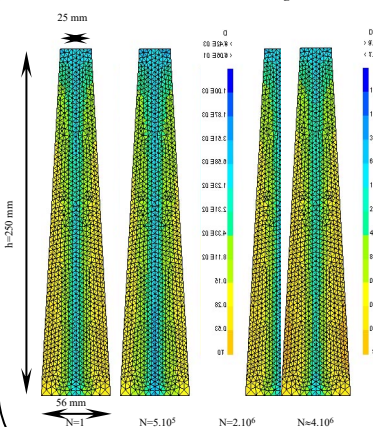
- Essai de traction compression (Di Benedetto, 2001)
- hauteur 120 mm
- diamètre 80 mm
- amplitude de déformation ≈ 80.10⁻⁶



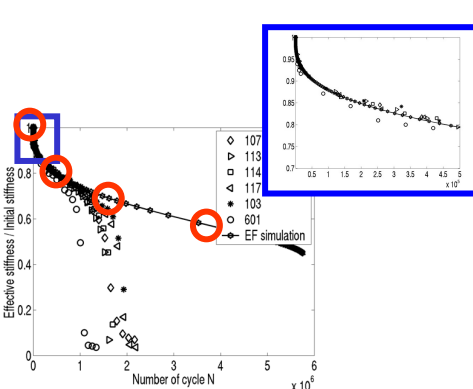
Enrobé bitumineux
(granulats 0/6 mm, bitume pur 50/70)
Essais réalisés à 10 °C 10 Hz

PREMIERES VALIDATIONS SUR ESSAIS DE FLEXION

Evolution des cartes d'endommagement



Evolution de la raideur macroscopique
Comparaison (simulation E.F. expérience)



Eléments T3, hypothèse contraintes planes et calcul non-local (l=15 mm), amplitude de déformation maxi ≈ 140.10⁻⁶.
E=E'(10°C, 10Hz)= 12000 MPa, ν=0.35, C = 5.10⁻², α=2.10, β=4

CONCLUSION

- Code validé (1D)
- Premières validations sur éprouvette de flexion :
 - bonne description de la cinématique globale d'endommagement (30% du processus)
 - cartographie d'endommagement maximal cohérente avec les observations expérimentales
 - en cours sur d'autres bases de données

PERSPECTIVES

- Validation sur d'autres géométries d'essai
 - essai de fatigue "idéale" ?
- Modéliser le passage phase 2 - phase 3
- Donner les limites de performance du modèle
 - tester une éventuelle autre loi d'évolution